

УДК 539.3

**А.А. Каменских, Н.А. Труфанов**

Пермский государственный технический университет,

**В.П. Матвеенко**

Институт механики сплошных сред УрО РАН, г. Пермь

**ЧИСЛЕННАЯ РЕАЛИЗАЦИЯ МЕТОДА  
ГЕОМЕТРИЧЕСКОГО ПОГРУЖЕНИЯ НА ОСНОВЕ  
ВАРИАЦИОННОГО ПРИНЦИПА КАСТИЛЬЯНО**

Рассмотрен вариант метода геометрического погружения на основе вариационного принципа Кастильяно, в основной процедуре которого используется метод конечных элементов в напряжениях. Представлены результаты сравнения данного подхода с аналитическим решением для толстостенной трубы под действием внутреннего давления и результаты численного решения плоской задачи теории упругости для неканонической области, демонстрирующие практическую сходимость итерационной процедуры погружения, качество выполнения естественных граничных условий и характер распределения компонент тензора напряжений в области. Рассмотренный метод позволяет достигнуть высокой точности решения в напряжениях при достаточно небольшом числе элементов, эффективно решать задачи для конструкций неканонической формы в напряжениях.

**Ключевые слова:** численные методы, математическое моделирование, метод геометрического погружения, метод конечных элементов, вариационный принцип минимума дополнительной энергии.

Для решения задач теории упругости тел сложной, в том числе и пространственной, конфигурации предложены эффективные итерационные методы: метод геометрического погружения [1], метод фиктивных областей [2, 3]. Метод геометрического погружения представляет собой процедуру сведения краевой задачи, сформулированной на области произвольной конфигурации, к итерационной последовательности задач на некоторой канонической области. Существует обобщение идеи метода геометрического погружения на класс задач линейной и нелинейной вязкоупругости [4–6], упругопластичности [7]. В перечисленных работах итерационно-вариационная процедура метода геометрического погружения строится в рамках вариационного принципа минимума общей потенциальной энергии. Метод геометрического погружения используется в совокупности с каким-либо численным методом. Использование метода конечных элементов в основной процедуре

метода геометрического погружения позволяет получать конечномерные аналогии краевых задач со многими полезными качествами, зачастую не присущими обычным формулировкам метода конечных элементов. Реализация метода конечных элементов в рамках напряжений осуществляется в единичных случаях для тел канонической формы. Основная причина этого состоит в трудностях аппроксимации напряжений в конечном элементе. Решение задач в напряжениях обладает рядом преимуществ: автоматически исчезают проблемы, возникающие при вычислении напряжений в вариантах метода конечных элементов, основанных на постановке задачи в перемещениях; полученное решение представляет собой верхнюю грань оценки точного решения, а также отсутствуют проблемы для тел, изготовленных из несжимаемых и слабосжимаемых материалов. Представляет интерес формулировка и реализация метода геометрического погружения в рамках вариационного принципа минимума дополнительной энергии, в том числе конечно-элементная реализация.

Запишем функционал дополнительной энергии деформируемого тела в общем виде:

$$\Pi_C = \int_V \hat{\sigma} \cdot \hat{\epsilon} dV - \int_{S_u} \vec{t} \cdot \vec{U} dS_u, \quad (1)$$

где  $V$  – объем, занимаемый исходной областью,  $S_u$  – часть поверхности на которой заданы кинематические граничные условия,  $\vec{t}$  – вектор усилий на  $S_u$ ,  $\vec{U}$  – вектор заданных перемещений на  $S_u$ ,  $\hat{\sigma}$  – тензор напряжений,  $\hat{\epsilon}$  – тензор деформаций.

Функционал  $\Pi_C$  определен на множестве функций  $\sigma_{ij}$  (компоненты тензора напряжений), удовлетворяющих в области  $V$  уравнениям равновесия и статическим граничным условиям на границе  $S_\sigma$ .

Следуя идее метода геометрического погружения [1], выполним тождественное преобразование выражения (1):

$$\Pi_C = \int_V \hat{\sigma} \cdot \hat{\epsilon} dV + \frac{1}{2} \int_{V_\Delta} \hat{\sigma} \cdot \hat{\epsilon} dV_\Delta - \frac{1}{2} \int_{V_\Delta} \hat{\sigma} \cdot \hat{\epsilon} dV_\Delta - \int_{S_u} \vec{t} \cdot \vec{U} dS_u, \quad (2)$$

где  $V_\Delta$  – объем области, дополняющей исходную область  $V$  до канонической  $V_0$  ( $V_0 = V \cup V_\Delta$ ).

Функционал (2) можно привести к виду

$$I_C = \int_{V_0} \hat{\sigma} \cdot \hat{\epsilon} dV - \frac{1}{2} \int_{V_\Delta} \hat{\sigma} \cdot \hat{\epsilon} dV_\Delta - \int_{S_u} \vec{t} \cdot \vec{U} dS_u . \quad (3)$$

Из функционала (3) следует вариационное уравнение

$$\int_{V_0} \delta \hat{\sigma} \cdot \hat{\epsilon} dV = \frac{1}{2} \int_{V_\Delta} \delta \hat{\sigma} \cdot \hat{\epsilon} dV_\Delta + \int_{S_u} \delta \vec{t} \cdot \vec{U} dS_u . \quad (4)$$

Будем решать уравнение (4) итерационным методом в виде

$$\int_{V_0} \delta \hat{\sigma} \cdot \hat{\epsilon} (\hat{\sigma}^{k+1}) dV = \frac{1}{2} \int_{V_\Delta} \delta \hat{\sigma} \cdot \hat{\epsilon} (\hat{\sigma}^k) dV_\Delta + \int_{S_u} \delta \vec{t} \cdot \vec{U} dS_u , \quad (5)$$

где  $k$  – номер итерации метода геометрического погружения;  $\hat{\sigma}^0 \equiv 0$ .

Таким образом, метод геометрического погружения сводится к итерационной процедуре, где на каждой итерации решается задача теории упругости в напряжениях в области  $V_0$ . Область  $V_0$  является канонической, для которой решение задачи теории упругости получить значительно проще.

В данной работе рассмотрены примеры реализации метода геометрического погружения на основе вариационного принципа Кастильяно.

В качестве первого шага рассмотрим решение плоской задачи теории упругости, известное как аналитическое решение. На данном этапе решалась осесимметричная задача об определении напряжений в кольцевой области, внутренний радиус которой  $r_1 = 10^{-2}$  м, внешний  $r_2 = 2 \cdot 10^{-2}$  м, жестко закрепленной по внешнему радиусу и нагруженной по внутреннему радиусу постоянным давлением  $P_r = 100$  кг/см<sup>2</sup>, касательные напряжения на внутренней поверхности отсутствуют (рис. 1). Решение ведется в полярной системе координат с использованием функций напряжений. Область разбивается кольцевыми элементами, связанными друг с другом только в узловых окружностях.

При построении конечно-элементных соотношений для задачи, сформулированной на основе принципа Кастильяно, требуется обеспечить равновесное поле напряжений внутри элемента и на межэлементных границах. Использование функции напряжений обеспечивает ус-

ловие равновесия внутри элемента. Равновесие на границах элементов для данной задачи можно обеспечить, если будут совпадать значения функции напряжений  $\varphi$  и ее производной  $\frac{\partial\varphi}{\partial r}$  в узловых окружностях соседних элементов. Для этого выберем их в качестве узловых неизвестных элемента:

$$\left\{ \varphi^e \right\} = \left\{ \varphi_i, \frac{\partial\varphi_i}{\partial r}, \varphi_j, \frac{\partial\varphi_j}{\partial r} \right\}^T, \quad (6)$$

где  $i, j$  – номера соседних узловых окружностей,  $\left\{ \varphi^e \right\}$  – вектор узловых неизвестных элемента.

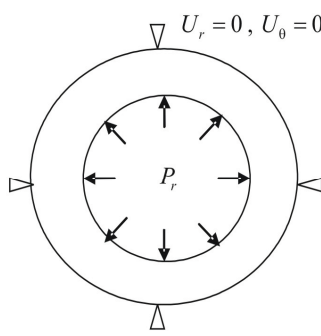


Рис. 1. Схема кольцевой области

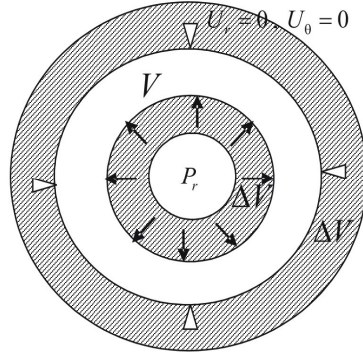


Рис. 2. Схема погружения

Изменение функции напряжений в элементе представлено в виде полинома:

$$\varphi = \alpha_1 + \alpha_2 \cdot r + \alpha_3 \cdot r^2 + \alpha_4 \cdot r^3. \quad (7)$$

Функцию напряжений можно записать в другом виде:

$$\varphi = N_{0i}\varphi_i + N_{1i}\frac{\partial\varphi_i}{\partial r} + N_{0j}\varphi_j + N_{1j}\frac{\partial\varphi_j}{\partial r}, \quad (8)$$

где  $N_{0i}, N_{1i}, N_{0j}, N_{1j}$  – функции формы конечного элемента.

Неизвестные коэффициенты полинома (7)  $\alpha_1, \alpha_2, \alpha_3, \alpha_4$  находим из условий:

$$\frac{d^f N_{gn}(r_m)}{dr^f} = \delta_{gf} \delta_{nm}, \quad f, g = \overline{0, 1}, \quad n, m = \overline{i, j}. \quad (9)$$

Результаты, полученные методом конечных элементов, сравниваются с точным аналитическим решением, в результате чего получены зависимости погрешностей радиального напряжения, окружного напряжения и перемещений от числа узловых неизвестных  $M$ .

$$\Delta\sigma_{rr} = \max_i \left| \sigma_{rr_i}^u - \sigma_{rr_i}^a \right| / \left\| \sigma^a \right\|, \quad (10)$$

$$\Delta\sigma_{\theta\theta} = \max_i \left| \sigma_{\theta\theta_i}^u - \sigma_{\theta\theta_i}^a \right| / \left\| \sigma^a \right\|, \quad (11)$$

$$\Delta u_r = \max_i \left| u_{r_i}^u - u_{r_i}^a \right| / \left\| u^a \right\|, \quad (12)$$

где  $\left\| \sigma^a \right\| = \max_i (\sigma_{rr_i}^a, \sigma_{\theta\theta_i}^a)$ ,  $\sigma_{rr_i}^a$ ,  $\sigma_{\theta\theta_i}^a$  – значения напряжений точного аналитического решения в  $i$ -й узловой окружности,  $\left\| u^a \right\| = \max_i (u_{r_i}^a)$ ,  $u_{r_i}^a$  – значение перемещения точного аналитического решения в  $i$ -й узловой окружности,  $\sigma_{rr_i}^u$ ,  $\sigma_{\theta\theta_i}^u$  – значения напряжений численного решения в  $i$ -й узловой окружности,  $u_{r_i}^u$  – значение перемещения численного решения в  $i$ -ой узловой окружности,  $i$  – целое число, пробегает значения от 1 до  $M$ .

Из рис. 3–5 видно, что с увеличением количества элементов погрешность метода конечных элементов уменьшается. По результатам метода конечных элементов для данной задачи можно говорить о сходимости метода к точному решению.

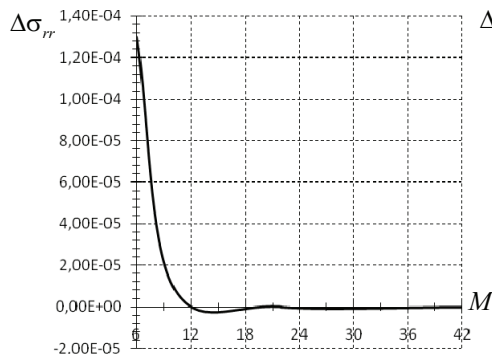


Рис. 3. Зависимость относительной погрешности  $\sigma_{rr}$  от числа узловых неизвестных

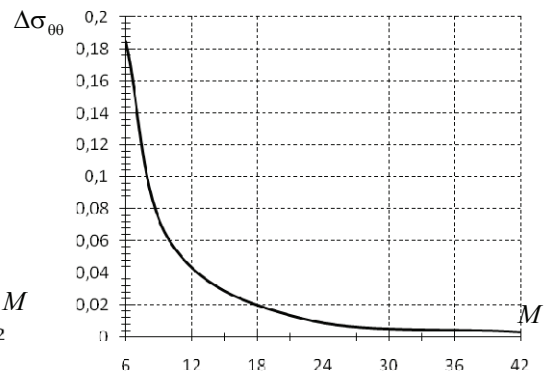


Рис. 4. Зависимость относительной погрешности  $\sigma_{\theta\theta}$  от числа узловых неизвестных

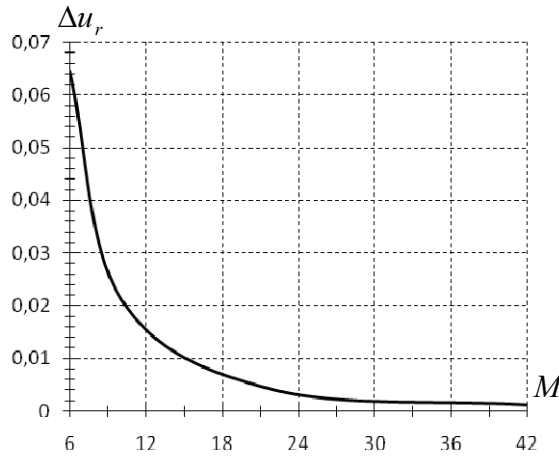


Рис. 5. Зависимость относительной погрешности  $u$  от числа узловых неизвестных

Рассмотрим далее в качестве иллюстрации применение процедуры метода геометрического погружения (3) для решения данной задачи. Для этого осуществим погружение конструкции в некоторую каноническую область, в качестве которой выберем кольцо меньшего внутреннего  $r_1' = 0,5 \cdot 10^{-2}$  м и большего наружного радиусов  $r_2' = 2,5 \cdot 10^{-2}$  м (рис. 2). В итерационной процедуре метода геометрического погружения для решения задачи теории упругости на канонической области используется ранее описанная схема метода конечных элементов. Для канонической области  $V_0$  сетка содержит 40 элементов, из них 20 приходится на область  $V$ , 20 – на область  $V_\Delta$ . Остановка итерационной процедуры происходила при выполнении условия

$$\max_n \left| \frac{\varphi_n^k - \varphi_n^{k-1}}{\varphi_n^{k-1}}, \frac{\frac{\partial \varphi_n^k}{\partial r} - \frac{\partial \varphi_n^{k-1}}{\partial r}}{\frac{\partial \varphi_n^{k-1}}{\partial r}} \right| \leq \delta, \quad (13)$$

где  $n = \overline{1, M}$ . Полученные результаты сравнивались с аналитическим решением. При выбранном  $\delta = 10^{-7}$  для достижения требуемой точности потребовалось 10 итераций.

Относительная погрешность напряжений и перемещений метода геометрического погружения отличается от погрешности метода ко-

нечных элементов максимально на  $10^{-4}$ . Графики зависимостей аналогичны графикам, представленным на рис. 3–5. Таким образом, для данной задачи метод геометрического погружения сходится и дает результаты, близкие к точному решению.

Графики, представленные на рис. 6, демонстрируют распределение найденных напряжений и перемещений от радиуса, а также выполнение естественных граничных условий в перемещениях. Результаты метода геометрического погружения показаны с учетом добавочной области  $V_\Delta$ .

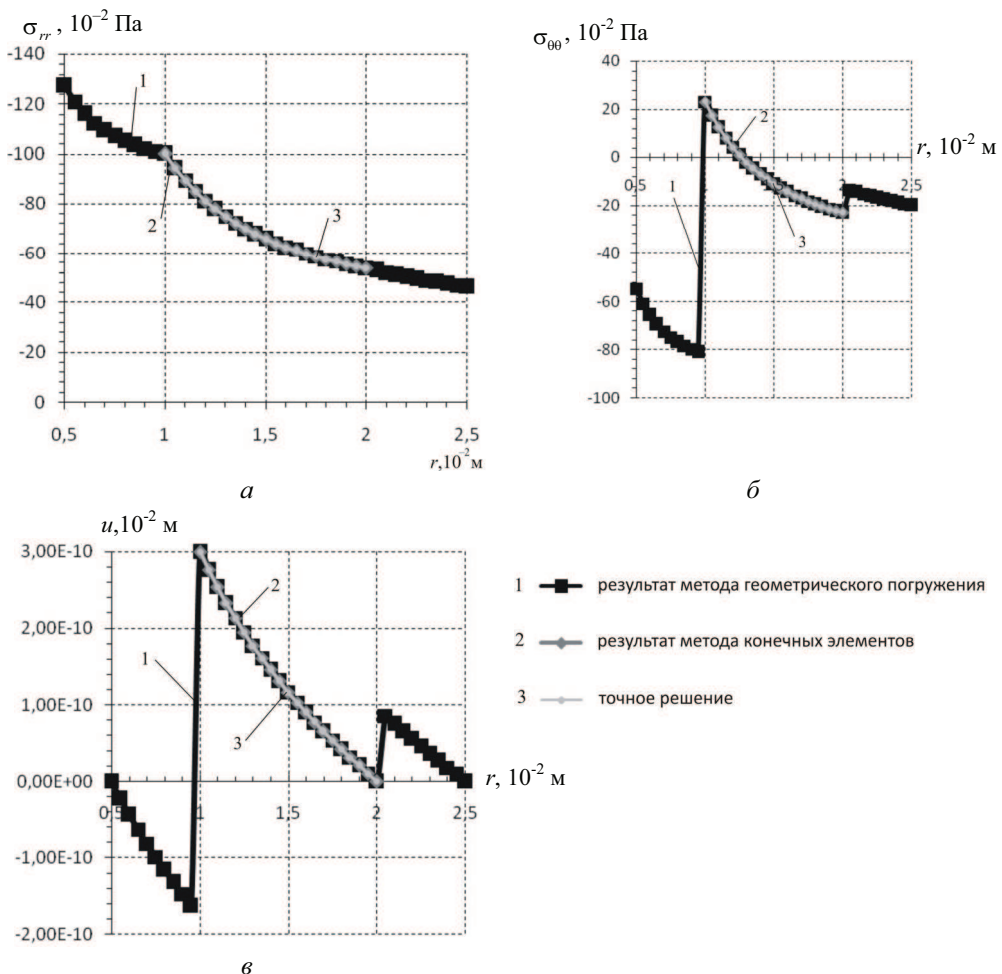


Рис. 6. Результаты решения первой задачи: *а* – радиальные напряжения; *б* – окружные напряжения; *в* – перемещения

Рис. 7 демонстрирует сходимость итерационной процедуры метода геометрического погружения: результаты первой итерации наиболее отличаются от точного решения задачи, уже на третьей итерации метод близок к точному решению: относительная погрешность радиального напряжения  $\Delta\sigma_{rr} = 0,2614 \cdot 10^{-4}$ , окружного напряжения  $\Delta\sigma_{\theta\theta} = 0,9470 \cdot 10^{-4}$ , перемещений  $\Delta u_r = 0,4658 \cdot 10^{-4}$ .

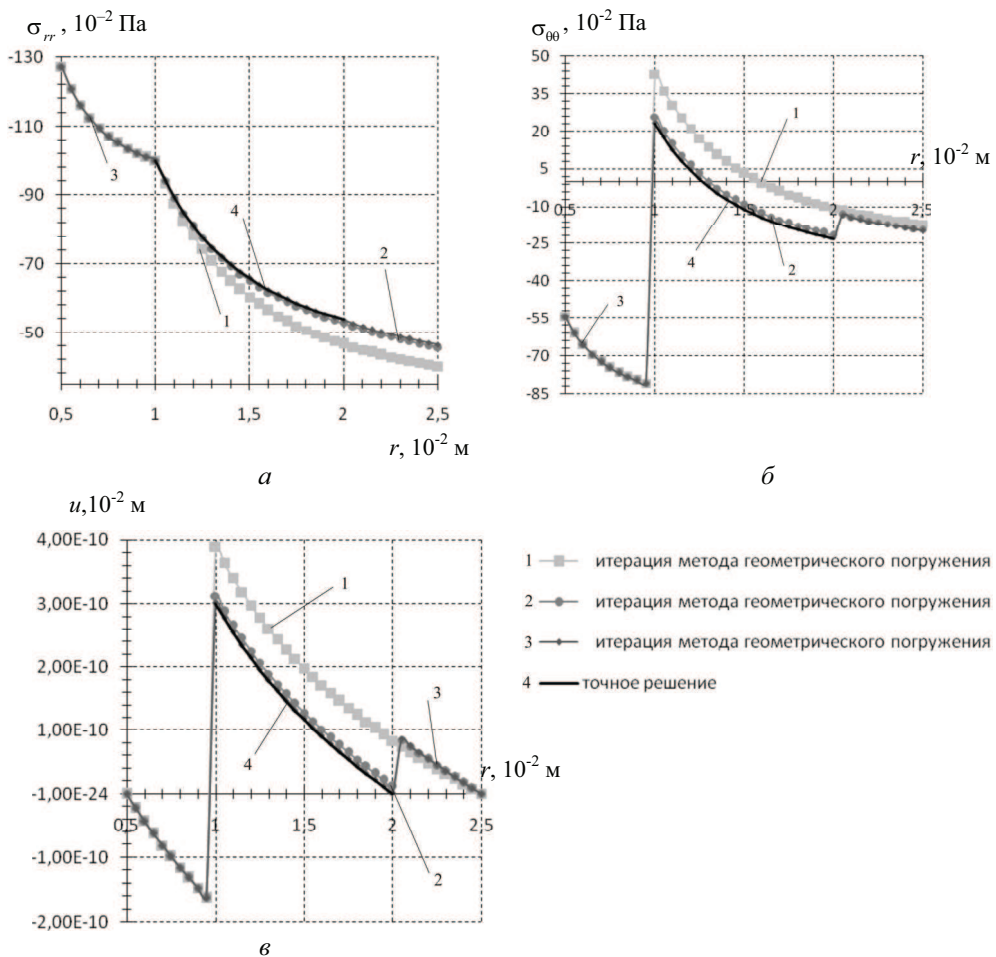


Рис. 7. Результаты решения первой задачи для первых трех итераций метода геометрического погружения: *а* – радиальные напряжения; *б* – окружные напряжения; *в* – перемещения

В качестве более сложного иллюстративного примера осуществим реализацию алгоритма метода геометрического погружения для задачи, не имеющей аналитического решения, с усложненной геомет-

рической конфигурацией. Решалась задача об определении напряжений в круговой области, внешний радиус которой  $r = 2 \cdot 10^{-2}$  м, с внутренним эллиптическим вырезом, малая полуось которого  $a = 10^{-2}$  м, большая –  $b = 1,5 \cdot 10^{-2}$  м. На внутренней эллиптической поверхности заданы нормальные к границе области перемещения  $U_n = 0,01 \cdot 10^{-2}$  м, на внешней поверхности – статические граничные условия  $\sigma_r = -1$  кг/см<sup>2</sup> и  $\tau_{r\theta} = 0$  кг/см<sup>2</sup> (рис. 8). Задача плоская, решение ведется в рамках линейной теории упругости в полярной системе координат, с использованием метода конечных элементов в напряжениях. Погружение осуществлялось в кольцо с внутренним радиусом  $r_1 = 10^{-2}$  м и внешним радиусом  $r_2 = 2,5 \cdot 10^{-2}$  м (рис. 9). Каноническая область разбивается кольцевыми элементами, связанными друг с другом только в узловых окружностях.

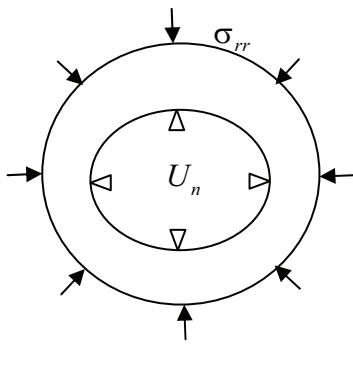


Рис. 8. Схема круговой области с эллиптическим вырезом

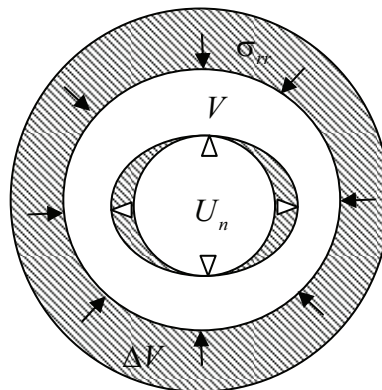


Рис. 9. Схема погружения

Каноническая область является телом вращения, поэтому функцию напряжений можно разложить в ряд по окружной координате:

$$\varphi(r, \theta) = \sum_{n=0}^{\infty} \left( \varphi_n(r) \cdot \cos(n\theta) + \overline{\varphi_n(r)} \cdot \sin(n\theta) \right). \quad (14)$$

Непрерывное поле напряжений внутри элемента и на межэлементных границах обеспечивалось путем выражения неизвестных коэффициентов линейной комбинации, удовлетворяющей бигармониче-

скому уравнению, через напряжения в узловых окружностях. Функция напряжений аппроксимировалась следующими зависимостями:

$$\begin{aligned}\varphi_0(r) &= A_1^{(0)}r^2 + A_2^{(0)}r, \\ \varphi_1(r) &= A_1^{(1)}r^3 + A_2^{(1)}r^2 + A_3^{(1)}r^{-1} + A_4^{(1)}r^{-2}, \\ \varphi_n(r) &= A_1^{(n)}r^3 + A_2^{(n)}r^2 + A_3^{(n)}r + A_4^{(n)}, \quad n > 1.\end{aligned}$$

Выражения для  $\overline{\varphi_n(r)}$  при  $n \geq 1$  аналогичны  $\varphi_n(r)$ , при  $n = 0$   $\overline{\varphi_n(r)} = 0$ . Напряжения ищутся в виде

$$\begin{cases} \sigma_r(r, \theta) = \sum_{n=0}^{\infty} \left( \sigma_r^{(n)}(r) \cdot \cos(n\theta) + \overline{\sigma_r^{(n)}(r)} \cdot \sin(n\theta) \right), \\ \sigma_{\theta}(r, \theta) = \sum_{n=0}^{\infty} \left( \sigma_{\theta}^{(n)}(r) \cdot \cos(n\theta) + \overline{\sigma_{\theta}^{(n)}(r)} \cdot \sin(n\theta) \right), \\ \tau_{r\theta}(r, \theta) = \sum_{n=0}^{\infty} \left( \tau_{r\theta}^{(n)}(r) \cdot \cos(n\theta) + \overline{\tau_{r\theta}^{(n)}(r)} \cdot \sin(n\theta) \right), \end{cases} \quad (15)$$

где  $\sigma_r^{(n)}(r)$ ,  $\sigma_{\theta}^{(n)}(r)$ ,  $\tau_{r\theta}^{(n)}(r)$  – коэффициенты при соответствующих гармониках:

при  $n = 0$

$$\begin{cases} \sigma_r^{(0)} = 2A_1^{(0)} + A_2^{(0)}r^{-1}, \\ \sigma_{\theta}^{(0)} = 2A_1^{(0)}, \\ \tau_{r\theta}^{(0)} = 0, \end{cases} \quad (16)$$

при  $n = 1$

$$\begin{cases} \sigma_r^{(1)} = 2A_1^{(1)}r + A_2^{(1)} - 2A_3^{(1)}r^{-3} - 3A_4^{(1)}r^{-4}, \\ \sigma_{\theta}^{(1)} = 6A_1^{(1)}r + 2A_2^{(1)} + 2A_3^{(1)}r^{-3} + 6A_4^{(1)}r^{-4}, \\ \tau_{r\theta}^{(1)} = A_1^{(1)}r + A_2^{(1)} + A_3^{(1)}r^{-3} + 3A_4^{(1)}r^{-4}, \end{cases} \quad (17)$$

при  $n > 1$

$$\begin{cases} \sigma_r^{(0)} = 2A_1^{(1)}r + A_2^{(1)} - 2A_3^{(1)}r^{-3} - 3A_4^{(1)}r^{-4}, \\ \sigma_{\theta}^{(0)} = 6A_1^{(1)}r + 2A_2^{(1)} + 2A_3^{(1)}r^{-3} + 6A_4^{(1)}r^{-4}, \\ \tau_{r\theta} = A_1^{(1)}r + A_2^{(1)} + A_3^{(1)}r^{-3} + 3A_4^{(1)}r^{-4}, \end{cases} \quad (18)$$

Выражения для  $\overline{\sigma_r^{(n)}(r)}$ ,  $\overline{\sigma_\theta^{(n)}(r)}$ ,  $\overline{\tau_{r\theta}^{(n)}(r)}$  при  $n \geq 1$  аналогичны  $\sigma_r^{(n)}(r)$ ,  $\sigma_\theta^{(n)}(r)$ ,  $\tau_{r\theta}^{(n)}(r)$ , при  $n = 0$   $\overline{\sigma_r^{(n)}(r)} = 0$ ,  $\overline{\sigma_\theta^{(n)}(r)} = 0$ ,  $\overline{\tau_{r\theta}^{(n)}(r)} = 0$ .

Коэффициенты  $A_l^{(0)} - A_4^{(n)}$  выражаются через значения узловых напряжений  $\sigma_{ri}^{(0)}$ ,  $\sigma_{rj}^{(0)}$ ,  $\sigma_{ri}^{(1)}$ ,  $\sigma_{rj}^{(1)}$ ,  $\sigma_{\theta i}^{(1)}$ ,  $\sigma_{\theta j}^{(1)}$ ,  $\sigma_{ri}^{(n)}$ ,  $\sigma_{rj}^{(n)}$ ,  $\tau_{r\theta i}^{(n)}$ ,  $\tau_{r\theta j}^{(n)}$  ( $n > 1$ ) из условий:  
при  $n = 0$

$$\begin{cases} \sigma_r^{(0)}(r_i) = \sigma_{ri}^{(0)}, \\ \sigma_r^{(0)}(r_j) = \sigma_{rj}^{(0)}, \end{cases} \quad (19)$$

при  $n = 1$

$$\begin{cases} \sigma_r^{(1)}(r_i) = \sigma_{ri}^{(1)}, \sigma_r^{(1)}(r_j) = \sigma_{rj}^{(1)}, \\ \sigma_\theta^{(1)}(r_i) = \sigma_{\theta i}^{(1)}, \sigma_\theta^{(1)}(r_j) = \sigma_{\theta j}^{(1)}, \end{cases} \quad (20)$$

при  $n > 1$

$$\begin{cases} \sigma_r^{(n)}(r_i) = \sigma_{ri}^{(n)}, \sigma_r^{(n)}(r_j) = \sigma_{rj}^{(n)}, \\ \tau_{r\theta}^{(n)}(r_i) = \tau_{r\theta i}^{(n)}, \tau_{r\theta}^{(n)}(r_j) = \tau_{r\theta j}^{(n)}. \end{cases} \quad (21)$$

Аналогично вычисляются коэффициенты  $\overline{A_l^{(1)}} - \overline{A_4^{(n)}}$ ,  $n > 1$ .

После того как все выражения для базисных функций сформулированы, реализуется метод конечных элементов в итерационной процедуре метода геометрического погружения.

На рис. 10, 11 представлены результаты решения методом геометрического погружения для исходной области  $V$  при угле  $\theta = 0$ , на рис. 12, 13 – для  $\theta = \pi/2$  радиан. Из графиков прослеживается зависимость решения от окружной координаты. Относительная погрешность выполнения естественных граничных условий не превышает 0,56 %. Для канонической области  $V_0$  сетка содержит 60 элементов. Остановка итерационной процедуры происходит в соответствии с (13) при  $\delta = 10^{-7}$ . Для достижения требуемой точности потребовалось 15 итераций.

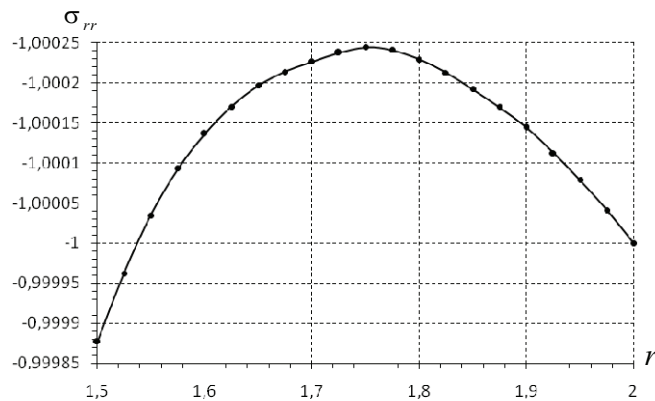


Рис. 10. Радиальные напряжения при  $\theta = 0$

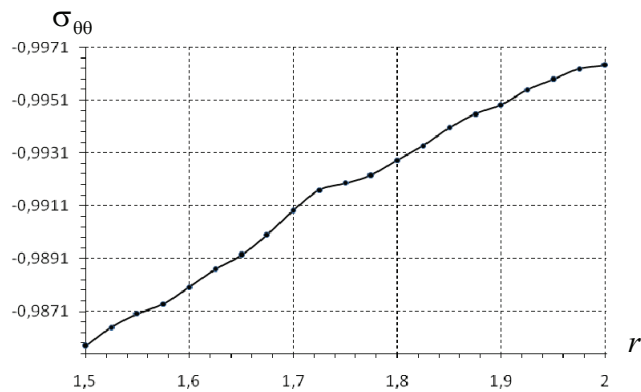


Рис. 11. Окружные напряжения при  $\theta = 0$

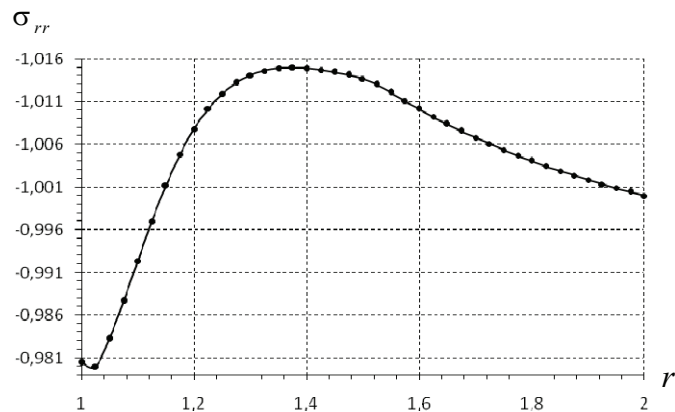


Рис. 12. Радиальные напряжения при  $\theta = \pi/2$

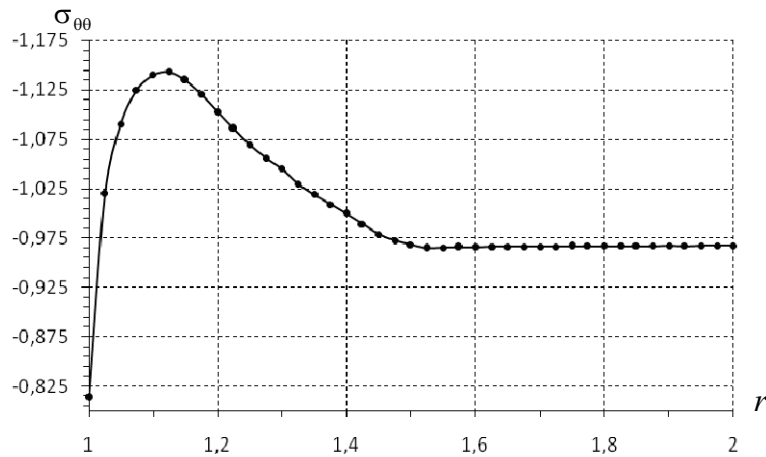


Рис. 13. Окружные напряжения при  $\theta = \pi/2$

Таким образом, представлены результаты численного решения плоской задачи теории упругости для неканонической области, демонстрирующие практическую сходимость итерационной процедуры погружения, качество выполнения естественных граничных условий и характер распределения компонент тензора напряжений в области. Рассмотренный вариант метода геометрического погружения на основе вариационного принципа Кастильяно позволяет достигнуть высокой точности решения в напряжениях при достаточно небольшом числе элементов, эффективно решать задачи для конструкций неканонической формы в напряжениях.

### Библиографический список

1. Шардаков И.Н., Труфанов Н.А., Матвеенко В.П. Метод геометрического погружения в теории упругости / УрО РАН. – Екатеринбург, 1999. – 298 с.
2. Марчук Г.И. Методы вычислительной математики. – М.: Наука, 1980. – 536 с.
3. Коновалов А.Н. Метод фиктивных областей в задачах кручения // Численные методы механики сплошной среды. – 1973. – Т. 4, № 2. – С. 109–115.
4. Светашков А.А. Определение эффективных характеристик неоднородных вязкоупругих тел // Вычислительные технологии. – 2001. – Т. 6. № 1. – С. 52–64.

5. Павлов С.М., Светашков А.А. Итерационный метод решения задач линейной вязкоупругости // Известия высших учебных заведений. Физика. – 1993. – Т. 36. № 4. – С. 129–137.
6. Куликов Р.Г., Труфанов Н.А. Итерационный метод решения квазистатических нелинейных задач вязкоупругости // Вычислительная механика сплошных сред. – 2009. – Т.2, № 3. – С. 44–56.
7. Шардаков И.Н. Теоретические положения метода геометрического погружения для краевых задач упругопластического тела // Общие задачи и методы исследования пластичности и вязкоупругости материалов и конструкций. – Свердловск, 1986. – С. 123–127.

Получено 10.11.2010